

С344.1

В-17

+

Ван Ган-чан, Ван Цу-цзен, Дин Да-пао
Кладницкая Е.Н., Соловьев, М.И.

Обработка результатов, полученных при облучении
нузырьковой пропановой камеры ЛВЭ в π^+ -мезонном
пучке синхроциклотрона Объединенного института
ядерных исследований.

Обработка результатов, полученных при облучении пузырь-
ковой пропановой камеры Лаборатории высоких энергий в
 π^+ мезонном пучке синхроциклотрона Объединенного института
ядерных исследований.

Ван Ган-чан, Ван Цу-цзен, Дин Да-цао, Кладницкая Е.Н.,
Соловьев М.И.

Приводятся методы обработки результатов реакций при $\pi^+ + p$ и $\pi^+ + c$ взаимодействиях. Построены угловые распределения продуктов реакций в СИМ. Область энергий первичного пучка 250-270 Mev.

(I) Порядок и методы просмотра плёнки, измерений, обчёта и статистика результатов.

I. Просмотр пленки.

Просмотр полученных фотографий производился на стереоскопе. При просмотре пленки с помощью стереоскопа прежде всего надо отличать π^+ мезоны от протонов. Это делалось путем сравнения относительных плотностей и ширины следов (точнее плотностей и размеров пузырьков). π^+ следы тонкие (0.03 x II мм), плотность пузырьков маленькая (8-10 на II мм.). P следы толстые (0.05 x II мм), плотность пузырьков большая (18-20 на II мм.).

Все случаи взаимодействия π^+ мезонов с водородом и углеродом выделялись и зарисовывались (штриховой линией

мезоны, сплошной - протоны). Далее они разделялись на три группы - однолучевые звезды, двухлучевые звезды и звезды с числом лучей, большим 2. Учитывались только взаимодействия,

вызванные π^+ мезонами с отклонением от направления пучка, не превышающим 10° , т.к. по-видимому следы с наклоном к направлению пучка $> 10^\circ$, до входа в камеру уже потеряли неизвестную часть энергии, благодаря рассеянию в стенке камеры. Не учитывались взаимодействия, вызванные π^+ , проходящими по краям поля зрения. Ширина моноэнергетического пучка 40мм, она определялась диаметром отверстия в стенке камеры.

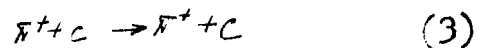
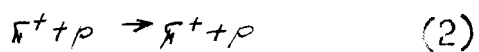
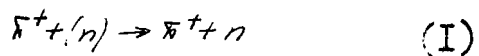
При взаимодействии π^+ мезонов с водородом и углеродом возможны следующие реакции:

а) Однолучевые звезды:

Вид случая



Возможная реакция

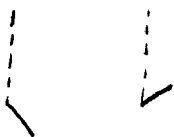


При $\theta < 15^\circ$ все вышенаписанные реакции не отличимы.

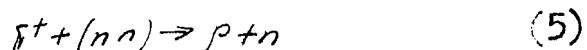
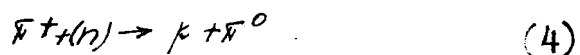
При $\theta > 15^\circ$ реакция (2) $\pi^+ + p \rightarrow \pi^+ + p$ выглядит в пропановой камере как двухлучевая звезда.

При $\theta > 70^\circ$ большой вклад в однолучевые звезды вносит реакция (1). Реакция (3) выглядит как однолучевая звезда, так как пробег ядра отдачи c не видим в пропане при возможных энергиях.

Вид случая



Возможная реакция



Если $\theta > 75^\circ$, то имеет место реакция (5)

При $75 < \theta$ реакция (5) выглядит как остановка.

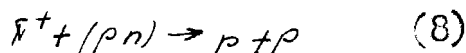
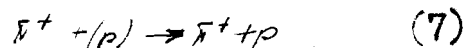
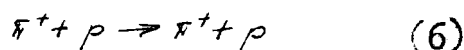
Если $\theta < 75^\circ$, то нужно знать пробег протона, чтобы определить реакцию. (По пробегу протона определяется его энергия и далее по T и θ делается выбор реакции).

б) Двухлучевые звезды:

Вид случая



Возможная реакция

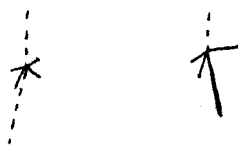


Последняя реакция легко определяется.

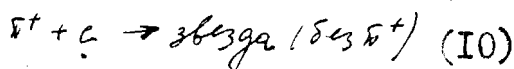
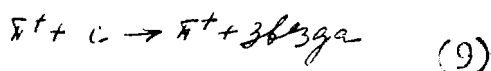
Первые две реакции разделяются по компланарности и соотношению углов θ_1 и θ_2 .

в) Звезды с числом лучей > 2 .

Вид случая



Реакция



Считалось полное число π^+ , входящих в камеру (отклонение от направления пучка не $> 10^\circ$) π^+ , проходящие по краям поля зрения не учитывались.

Следует иметь в виду:

I. При просмотре на стереоскопе нужно не только зарисовывать случай, но и отмечать положение вторичной частицы (вверх, вниз).

Точки S' и O' , постоянные, а точки "а" и "б" могут быть в различных частях первичного и вторичного следов, соответственно. Но чем дальше "а" и "б" от "о", тем меньше ошибка. Для случая (вторичный протон) точку "б" нужно брать на конце следа, т.е. координата конца нужна при определении пробега протона. Все выше упомянутое относится к однолучевым звездам, для других звезд, кроме точек o, a, b, S берутся дополнительные точки c, d, \dots

Вычисление углов ведется по формулам:

(I) Основные формулы для определения координат в пространстве из координат соответствующих точек на стерео-фотокартине.

Предполагаем, что в пространстве имеется только единственная среда, например, воздух, коэффициент преломления которого равен единице.

$SS_0, S'S_0'$ оптические оси объективов, которые перпендикулярны к плоскости Π , расстояние между ними $SS' = B$ (рис I)

S, S' главные точки объективов. v фокусное расстояние объектива.

Пусть изображение точки M на кадрах будет m (лев.) и m' (прав.) с координатами на плоскости кадров x, y и x', y' , а в пространстве точка M имеет координаты X, Y, Z

$$Z = SS' \frac{\cos \alpha_m \cos \alpha'_m}{\sin (\alpha_m - \alpha'_m)} = B \frac{1}{\operatorname{tg} \alpha_m - \operatorname{tg} \alpha'_m} = \frac{Bv}{x - x'} \quad (1) \quad (\text{рис. I})$$

обозначим $p = x - x'$

$$X = Z \operatorname{tg} \alpha_m = Z \frac{x}{v} = B \frac{x}{p} \quad (2)$$

$$Y = Z \operatorname{tg} \omega_m \operatorname{sec} \alpha_m = Z \frac{y}{v} = B \frac{y}{p} \quad (3)$$

Наконец, мы получили формулы для определения координат точки в пространстве из двух стереокартин:

$$X = \frac{B}{p} x, \quad Y = \frac{B}{p} y, \quad Z = \frac{B}{p} v$$

(2) Определение координат изображения точки, находящейся в пузырьковой камере.

Точки m, m' (рис. 2) соответствуют точкам M_1, M_2 , которые являются изображениями точки M в камере.

n_2 коэффициент преломления переднего стекла.

n_3 коэффициент преломления жидкости.

H_0 расстояние между главной точкой и стеклом.

Согласно с методом, изложенным в предыдущем параграфе, можно определить непосредственно координаты M_1 (или M_2) из положений точек m, m' относительно оптической оси.

На плоскости Φ (мощь M_1, M_2), m_2 соответствует точке изображения M_2 на левом кадре.

$$\frac{a}{b} = \frac{v - \Delta v}{z_1 - \Delta z}, \quad \frac{\Delta v}{\Delta z} = \frac{a}{b} = \frac{v - \Delta v}{z_1 - \Delta z}$$

$$\frac{\Delta v}{\Delta z} = \frac{v}{z_1}, \quad \frac{\Delta x}{\Delta v} = \frac{r + \Delta r}{v}, \quad \frac{\Delta x}{r} = \frac{\Delta v}{v - \Delta v}$$

$$\Delta x = r \frac{\Delta v}{v} \cdot \left(1 - \frac{\Delta v}{v}\right) = r \frac{\Delta z}{z_1 - \Delta z} = r \frac{\Delta z}{z_2}$$

$$z_1 = \frac{R_1}{r} v, \quad z_2 = \frac{R_2}{r'} v', \quad (R_1 = p M_1; R_2 = p' M_2)$$

$$\Delta z = z_1 - z_2 = v \left(\frac{R_1}{r} - \frac{R_2}{r'} \right) \cdot \frac{\Delta z}{z_2} = \frac{R_1 r' - R_2 r}{R_2 r}$$

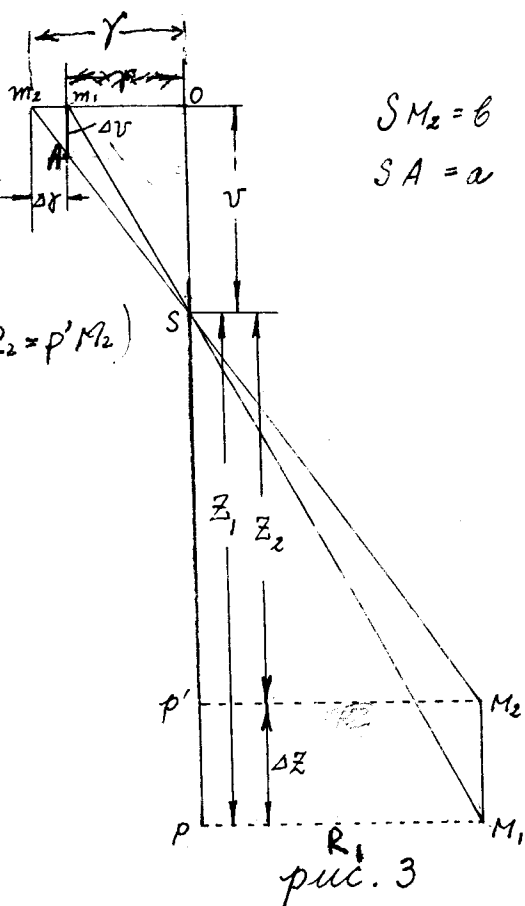
положение m_2 от оптической оси.

на левом кадре

$$r + \Delta r = \left(1 + \frac{\Delta z}{z_2}\right) r = \frac{R_1}{R_2} r' = \frac{R_1}{R_2} \sqrt{x'^2 + y'^2}$$

$$R_1 = \sqrt{X^2 + Y^2}, \quad R_2 = \sqrt{x'^2 + y'^2}, \quad \frac{X}{Y} = \frac{x}{y}$$

$$\frac{Z}{Y} = \frac{x'}{y'}, \quad r + \Delta r = \sqrt{x^2 \left(\frac{y'}{y}\right)^2 + y'^2}$$



Координаты изображения, соответствующего точке изображения M_2 на левом кадре $x \frac{z'}{y}$ и y' и этим же путем можно получить на правом кадре для точки M_1 изображение m , с координатами $x' \frac{z}{y}$ и y .

Берем точку S_0 как начальную точку координатной системы, тогда координаты точки изображения M_1 в пространстве определяются следующими выражениями

$$P = x - x' \frac{z}{y'} \quad (4)$$

$$X = \frac{Bz y'}{x y' - x' y} \quad Y = \frac{Bz y'}{x y' - x' y} \quad Z_1 = \frac{Bz y'}{x y' - x' y} \quad (II)$$

(3) Определение координат точки, находящейся в пузырьковой камере.

Мы уже получили координаты точки M_1 . С учетом коэффициента преломления стекла и жидкости можно получить окончательную формулу, определяющую координаты точки M в пространстве.

а) На плоскости Φ (рис. 4).

$$R = H_0 \operatorname{tg} \varphi_1 + d \operatorname{tg} \varphi_2 + h \operatorname{tg} \varphi_3 = z_1 \operatorname{tg} \varphi_1 \\ = (h' + H_0 + d) \operatorname{tg} \varphi_1$$

$$\operatorname{tg} \varphi_1 = \frac{r}{v} = \frac{\sqrt{a^2 + y^2}}{v} \quad (5)$$

где d - толщина стекла

h - глубина точки M под поверхностью жидкости.

h' - глубина точки изображения M_1 под поверхностью жидкости.

$$h' + H_0 + d = H_0 + d \frac{\operatorname{tg} \varphi_2}{\operatorname{tg} \varphi_1} + h \frac{\operatorname{tg} \varphi_3}{\operatorname{tg} \varphi_1}$$

$$h' + d \left(1 - \frac{\operatorname{tg} \varphi_2}{\operatorname{tg} \varphi_1}\right) = h \frac{\operatorname{tg} \varphi_3}{\operatorname{tg} \varphi_1}$$

$$h = h' \frac{\operatorname{tg} \varphi_1}{\operatorname{tg} \varphi_3} + d \left(\frac{\operatorname{tg} \varphi_1}{\operatorname{tg} \varphi_3} - \frac{\operatorname{tg} \varphi_1}{\operatorname{tg} \varphi_3} \cdot \frac{\operatorname{tg} \varphi_2}{\operatorname{tg} \varphi_1} \right)$$

$$\frac{\operatorname{tg} \varphi}{\operatorname{tg} \varphi'} = \sqrt{n^2 + (n^2 - 1) \operatorname{tg}^2 \varphi} \quad n = \frac{\sin \varphi}{\sin \varphi'}$$

$$h = h' \sqrt{n_3^2 + (n_3^2 - 1) \operatorname{tg}^2 \varphi_1} + d \sqrt{n_3^2 + (n_3^2 - 1) \operatorname{tg}^2 \varphi_1} \left(1 - \frac{1}{\sqrt{n_2^2 + (n_2^2 - 1) \operatorname{tg}^2 \varphi_1}} \right)$$

$$= [z_1 - (H_0 + d)] \sqrt{n_3^2 + (n_3^2 - 1) \operatorname{tg}^2 \varphi_1} +$$

$$+ d \sqrt{n_3^2 + (n_3^2 - 1) \operatorname{tg}^2 \varphi_1} \left(1 - \frac{1}{\sqrt{n_2^2 + (n_2^2 - 1) \operatorname{tg}^2 \varphi_1}} \right) \quad (6)$$

Наконец, мы получили формулы для определения положения точки M в пространстве из координат соответствующей точки на обоих кадрах (x, y) и (x', y')

$$X = \frac{Bz'}{xy' - x'y} x \quad Y = \frac{Bz'}{xy' - x'y} y \quad (\text{III})$$

$$h = \left[\frac{Bz'}{xy' - x'y} - (H_0 + d) \right] \sqrt{n_3^2 + (n_3^2 - 1) \operatorname{tg}^2 \varphi_1} +$$

$$+ d \sqrt{n_3^2 + (n_3^2 - 1) \operatorname{tg}^2 \varphi_1} \left(1 - \frac{1}{\sqrt{n_2^2 + (n_2^2 - 1) \operatorname{tg}^2 \varphi_1}} \right)$$

б) Приближенные формулы.

Если φ_1 и φ_2 очень малы $\operatorname{tg}^2 \varphi_1 \approx \operatorname{tg}^2 \varphi_2 \ll 1$,

то $\Delta z \rightarrow 0$ $y' = y$

$$(n^2 - 1) \operatorname{tg}^2 \varphi \ll n^2$$

(7)

Формулы (III) упрощаются в вид такой:

$$X = \frac{B}{x-x'} x \quad Y = \frac{B}{x-x'} y \quad (\text{IV})$$

$$h = n_2 \left[\frac{B\sqrt{}}{x-x'} - (H_0 + d) \right] + n_3 d \left(1 - \frac{1}{n_2} \right)$$

(4) Определение направления прямой и угла между двумя прямыми и определение компланарности.

а) Направление прямой и угол между прямыми.

Получив координаты любых двух точек на одной прямой (а, б) можем определить направление этой прямой по следующим формулам:

$$\cos \alpha = \frac{X_{ab}}{L_{ab}} \quad \cos \beta = \frac{Y_{ab}}{L_{ab}} \quad \cos \gamma = \frac{Z_{ab}}{L_{ab}} = \frac{h_{ab}}{L_{ab}} \quad (\text{V})$$

$$X_{ab} \equiv L_x \quad Y_{ab} \equiv L_y \quad Z_{ab} \equiv L_z$$

L_{ab} - расстояние между а, б.

Если известно направление двух прямых, то угол между ними будет

$$\cos \theta = \cos \alpha \cos \alpha' + \cos \beta \cos \beta' + \cos \gamma \cos \gamma' \quad (8)$$

б) Контроль компланарности.

Если три прямых 1, 2, 3 лежат на одной плоскости, то должно удовлетворяться следующее:

$$\Delta = \begin{vmatrix} \cos \alpha_1 & \cos \alpha_2 & \cos \alpha_3 \\ \cos \beta_1 & \cos \beta_2 & \cos \beta_3 \\ \cos \gamma_1 & \cos \gamma_2 & \cos \gamma_3 \end{vmatrix} = 0 \quad (9)$$

Из-за ошибок измерения и аппаратуры, даже при компланарности, это условие не соблюдается. Поэтому более подходящим методом является метод сравнения углов между горизонтальной плоскостью H и плоскостями, на которых лежат две прямые из трех, скажем "1.2", "2.3" (или "3.1"). Если разница этих углов $\Delta\varphi$ не больше ошибки, определяемой измерением и аппаратурой, то можно считать, что 1.2.3 компланарны.

В случае нашего эксперимента контроль компланарности требуется для того, чтобы выяснить, есть ли в составе вторичных частиц реакции невидимые частицы.

Если падающая плоскость совпадает с горизонтальной (X, Y), то угол между ней и плоскостью рассеяния (a.o.b) определится следующей простой формулой

$$\sin \varphi = \frac{z_{ob}}{l_{ob} \sin \theta} = \frac{h_{ob}}{l_{ob} \sin \theta} \quad (10)$$

где θ - угол между ao и ob

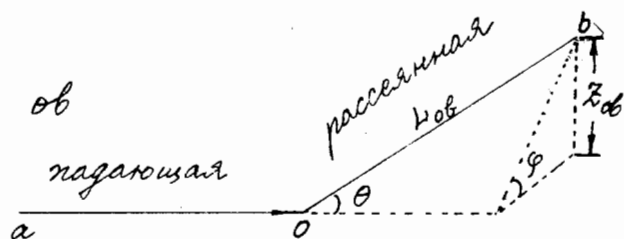


рис. 5.

Если падающая плоскость наклоняется на угол δ ($\text{tg } \delta = \frac{z_{ao}}{y_{ao}}$),

то вращаем координатную систему по оси X на угол δ , тогда φ определится следующей формулой

$$\sin \varphi = \frac{-y_{ob} \sin \delta + z_{ob} \cos \delta}{l_{ob} \sin \theta} \quad (11)$$

Если $\delta \rightarrow 0$, то (11) упрощается, и получим (10)

При определении координат точек $O, a, b, c \dots$ в пропановой камере по координатам соответствующих точек на стереокадрах мы пользовались приближенными формулами (IV).

Абсолютная ошибка для X и Y при этом около 1 мм, а для Z - 2 мм. II

При вычислении углов берется разность координат, поэтому ошибка мала (меньше ошибок измерений).

Углы θ и φ определялись по формулам:

$$\cos \theta = \frac{L_{ab}^2 - L_{ao}^2 - L_{ob}^2}{2L_{ao}L_{ob}}$$

$$\sin \varphi = \frac{-Y_{ob} \sin \delta + Z_{ob} \cos \delta}{L_{ob} \sin \theta},$$

Соответственно.

Полученная ^{ошибка} точность определения угла θ меньше 5 %, а угла φ 10 %.

2. Определение углов рассеяния с помощью репроектора. П.Я.П.¹⁾

На репроекторе непосредственно можно измерить θ' , θ_2' , φ' , φ_2' , α , h_1 , h_2 , но это ненастоящие значения. Поправка на пропан вводится по следующим формулам ($\alpha < 5^\circ$)

$$\operatorname{tg} \varphi = n \operatorname{tg} \varphi' \quad (12)$$

$$\sin \theta = \sqrt{\frac{1 + (n^2 - 1) \sin^2 \varphi'}{\operatorname{cosec}^2 \theta' + (n^2 - 1) \sin^2 \varphi'}} \quad (13)$$

φ и θ - истинные углы (рис. 6)

n - показатель преломления пропана, мы взяли $n = 1.233$

Формулы для φ и θ получены следующим образом

предположения:

направление \bar{h}^+ совпадает с направлением пучка \bar{h}^+ .

Значения со штрихом относятся к воздуху, без штриха к пропану.

h_1 - глубина под поверхностью стекла.

$h_2 = n h_1'$ пусть $\Delta h = h_2' - h_1' = \bar{AB}$

$$\Delta h = h_2 - h_1 = \bar{AC} = n(h_2' - h_1') = n \Delta h' = n \bar{AB}$$

$$\operatorname{tg} \varphi' = \frac{\bar{AB}}{\bar{AO}} \quad \operatorname{tg} \varphi = \frac{\bar{AC}}{\bar{AO}} = \frac{n \bar{AB}}{\bar{AO}} = n \operatorname{tg} \varphi'$$

$$\sin \varphi' = \frac{\bar{AB}}{\bar{OB}} \quad \bar{OB} = L' \sin \theta'$$

$$\Delta h' = \bar{AB} = L' \sin \varphi' \sin \theta'$$

$$\text{в } \Delta CDO \quad \sin \theta = \frac{\bar{OC}}{\bar{CD}} \quad \bar{OC} = \sqrt{(\bar{AC})^2 + (\bar{AO})^2} = \sqrt{(\bar{AC})^2 + (\bar{BO})^2 - (\bar{AB})^2}$$

$$\bar{OC} = \sqrt{L'^2 \sin^2 \theta' + L'^2 \sin^2 \varphi' \sin^2 \theta' (n^2 - 1)}$$

$$\begin{aligned} \bar{CD} &= \sqrt{(\bar{OD})^2 + (\bar{OC})^2} = \sqrt{L'^2 \cos^2 \theta' + L'^2 \sin^2 \theta' + L'^2 (n^2 - 1) \sin^2 \varphi' \sin^2 \theta'} \\ &= \sqrt{L'^2 + L'^2 (n^2 - 1) \sin^2 \varphi' \sin^2 \theta'}; \end{aligned}$$

$$\sin \theta = \sqrt{\frac{\sin^2 \theta' + (n^2 - 1) \sin^2 \theta' \sin^2 \varphi'}{1 + (n^2 - 1) \sin^2 \theta' \sin^2 \varphi'}} = \sqrt{\frac{1 + (n^2 - 1) \sin^2 \varphi'}{\operatorname{cosec}^2 \theta' + (n^2 - 1) \sin^2 \varphi'}}$$

Репроектор позволяет определять угол θ с точностью $10'$, а угол φ с точностью $\pm 0'1''$.

В среднем время, затрачиваемое на определение одного угла θ и соответствующего угла φ на репроекторе Лаборатории ядерных проблем ¹⁾ в два раза меньше, чем на микроскопе УИИ-21.

Значение угла θ , определенное с помощью репроектора, совпадает со значением того же угла, определенного с помощью микроскопа, в пределах не менее одного градуса.

III. Статистика результатов.

Составляется таблица, в которой обозначено число тех или других реакций. Зная полное число N^+ , вошедших в камеру, и число реакций, можно для каждой из них определить сечение.

$$\sigma = \frac{1}{n\ell}$$

n - число атомов в одном см^3
 для пропана $n_c = 1.77 \cdot 10^{22} / \text{см}^3$
 $d = 0.43 \text{ г/см}^3$ $n_p = 8/3 \cdot 1.77 \cdot 10^{22} / \text{см}^3$

$$E = \frac{N\ell}{A}$$

N - число N^+

A - число реакций

ℓ - длина камеры (в данном случае d)

Строится распределение по φ и θ с.и.и.

В заключение автор приносит благодарность сотрудникам Лаборатории ядерных проблем Р.М.Суляеву, А.И.Филиппову, Ю.А.Шербакову за любезно предоставленные в их распоряжение стереофотоаппараты, стереоскоп, и репроектор, а также Т.А.Харьковой, выполнившей большую часть измерений.

¹⁾ А.Т.Василенко, М.С.Козодаев, Р.М.Суляев, А.И.Филиппов, Ю.А.Шербаков (ЛЯП ОИЯИ) "Репроекционная техника измерений, используемая при обработке стереофотографий" - сообщение на совещании по камерам Вильсона, диффузионной и пузырьковой камерам.

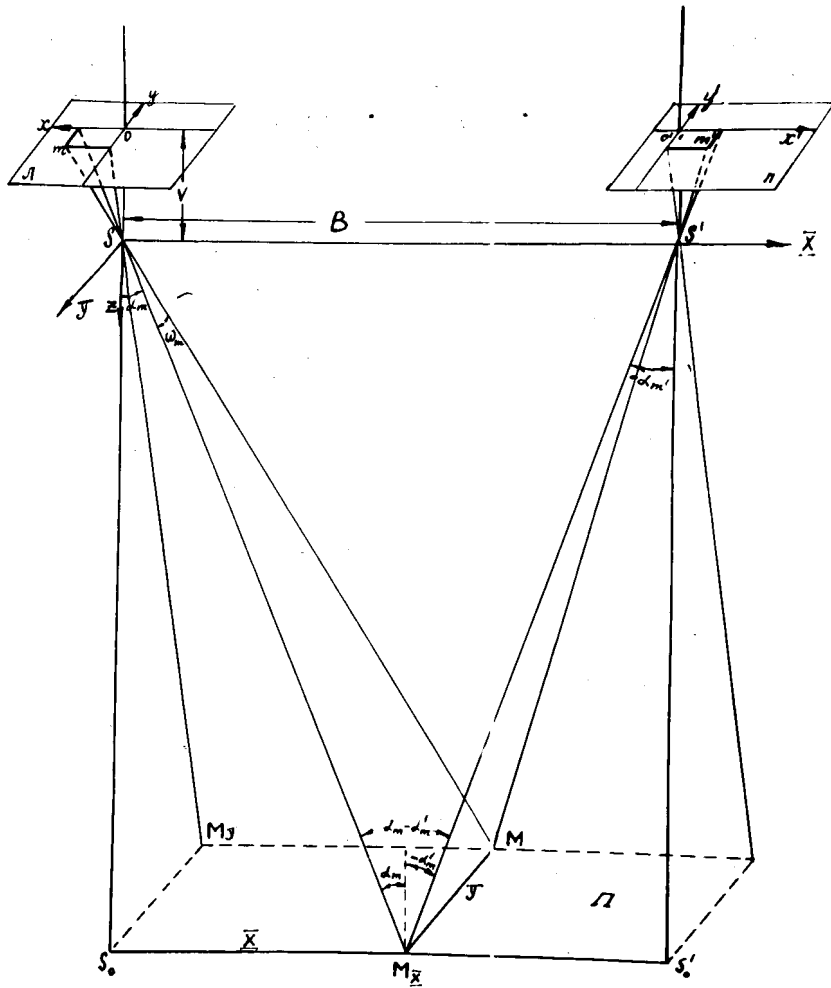


Рис. 1

[Faint handwritten notes and scribbles at the bottom of the page, including the word "Рис." and some illegible characters.]

67

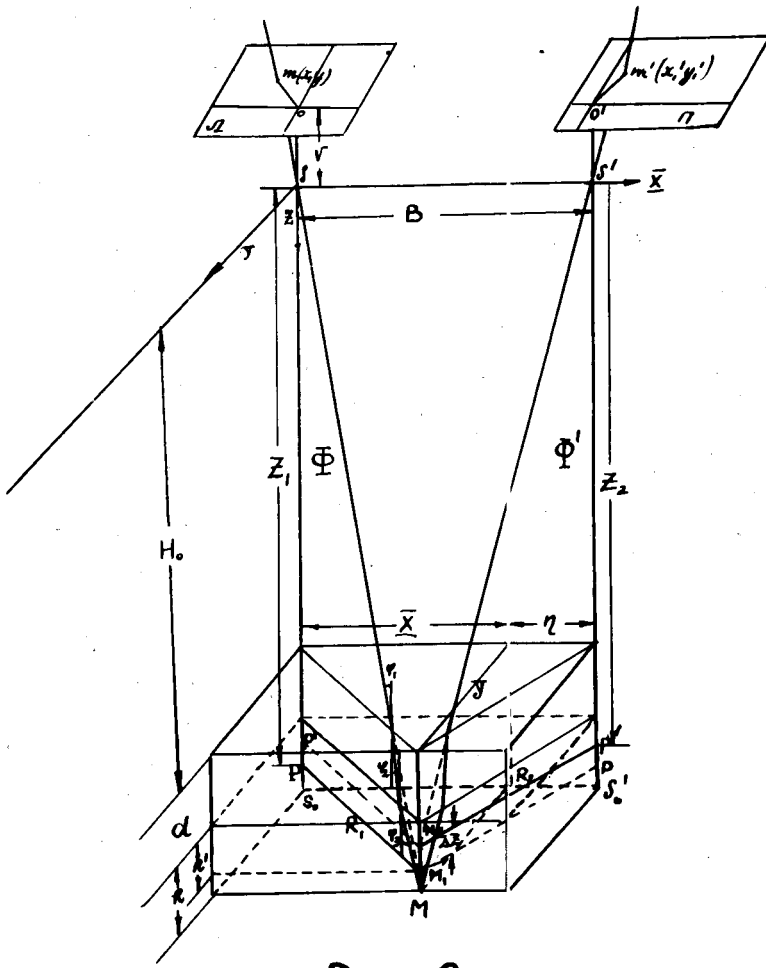


Рис. 2

С. А. Сидоров
Институт математики
Уральского государственного университета
Свердлов, 1977

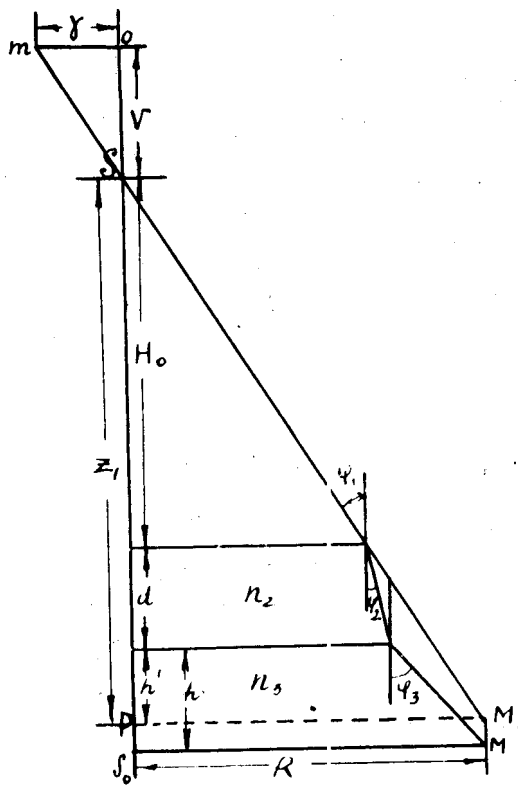


Рис. 4

ГОССТРОИТЕЛЬНЫЙ УНИВЕРСИТЕТ
 ИМЕНИ ВАСИЛИЯ КИРИЛЛОВА
 ИНЖЕНЕРНО-СТРОИТЕЛЬНЫЙ ФАКУЛЬТЕТ

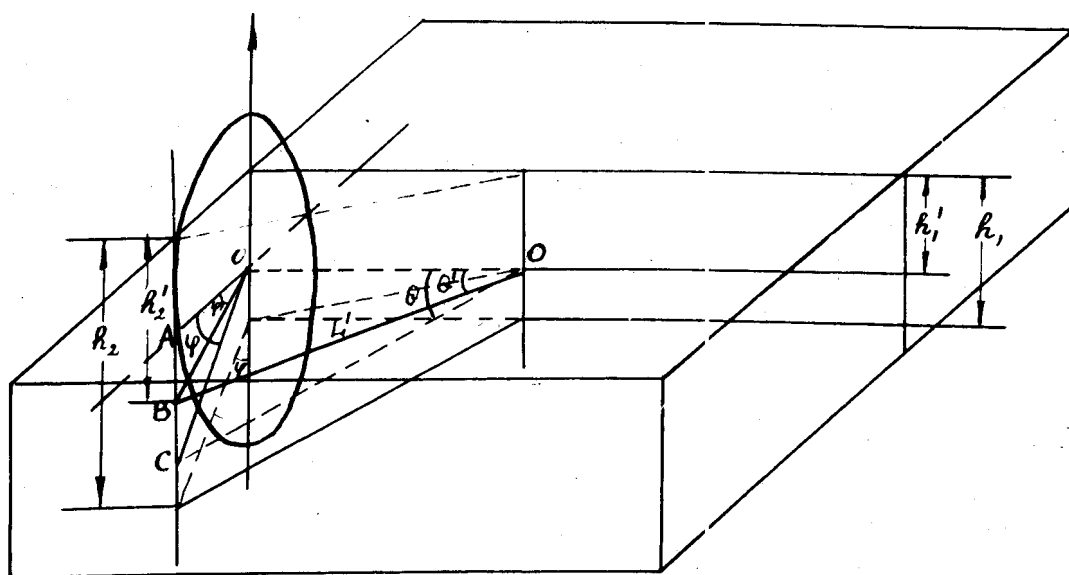


Рис. 6

Исследовательский институт
ядерных исследований
Библиотека